

ВЛИЯНИЕ КОНЕЧНЫХ ДЕФОРМАЦИЙ ТВЕРДОГО ТОПЛИВА НА ДИНАМИЧЕСКИЕ ПРОЦЕССЫ В ГОРЮЧИХ ПОРИСТЫХ СРЕДАХ

И. Д. Димитриенко

Московский государственный университет им. М. В. Ломоносова, 119899 Москва

Разработана модель горения пористых деформируемых сред в случае учета конечных деформаций твердой фазы. Предложен эффективный численно-аналитический метод решения задачи горения для деформируемой пористой среды с системой периодически расположенных трещин. С помощью этого метода проведен численный анализ влияния модуля упругости твердой фазы на характеристики внутреннего тепло- и массопереноса.

ВВЕДЕНИЕ

При исследовании динамических процессов зажигания и горения твердых пористых сред [1–10] (например, ракетных твердо топливных двигателей) важную роль играет вопрос об устойчивости горения при наличии дефектов типа поры, трещины и т. п. в твердой среде. При определенных условиях в порах и трещинах возникает быстро распространяющееся конвективное горение [2–7, 10–13], приводящее к быстрому росту давления в газовой фазе, которое, в свою очередь, резко изменяет давление в камере сгорания или/и приводит к быстрому распространению трещины, вызывая разрушение пористого материала.

Горение твердого топлива с порами и трещинами является весьма сложным процессом, зависящим от различных параметров (геометрических размеров [2, 3], условий зажигания [8, 12] и т. д.). Одно из наименее изученных явлений — влияние механических факторов: конечных деформаций, диссипации механической энергии, нелинейных свойств твердой фазы и т. п. на горение и тепло- и массоперенос в порах и трещинах.

Впервые влияние механических деформаций твердой фазы на горение пористого топлива было учтено в [3], однако при этом скорость распространения волн в твердой фазе полагалась бесконечно большой (т. е. решалась квазистатическая задача), а механические деформации — малыми. Конечная скорость распространения волн механических напряжений в твердой фазе учитывалась в работах [11–16], но для случая малых деформаций. С другой сто-

роны, теория расчета горения пористой двухфазной среды с конечными механическими деформациями, но без учета волновых процессов в твердой и газовой фазах была предложена в [17].

Цель настоящей работы — разработка модели процессов внутреннего тепло- и массопереноса и горения двухфазной пористой среды с учетом как конечных механических деформаций, так и конечной скорости распространения волн в твердой фазе.

1. ОСНОВНЫЕ УРАВНЕНИЯ

В декартовой системе координат Ox_i , $i = 1, 2, 3$, рассмотрим твердую среду (например, полупространство $x_1 > 0$) с системой плоских трещин, направленных по оси Ox_1 . Трещины периодически повторяются вдоль оси Ox_2 (рис. 1), их размер не зависит от координаты x_3 .

Вдоль плоскости x_2x_3 движется основной горячий поток газа, параметры которого считаются известными: давление и температура заданы в виде функций времени — $p_e(t)$ и $\theta_e(t)$. Поскольку в начальный момент времени t_0 давление $p_e(t)$ больше начального давления в трещине p_0 , при $t \geq t_0$ начинается затекание горячих газов в трещины, что приводит к зажиганию твердого топлива. Внешнее давление p_e , а также давление продуктов газификации в трещине воздействуют на твердую фазу, в результате чего происходит ее деформирование. Деформации твердой фазы считаются конечными, и для их описания используется пространственный эйлеров подход.

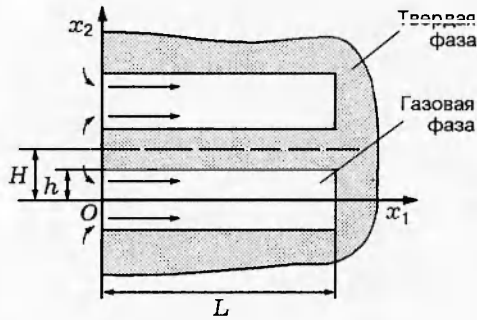


Рис. 1. Схема твердого топлива с продольными трещинами:

H — половина общего поперечного размера трещины, h_1 — полуширина зазора трещины, L — длина трещины

1.1. Законы сохранения. Описанная выше задача исследуется в плоской двумерной постановке. Система двумерных законов сохранения для твердой и газовой фаз в системе координат Ox_i записывается следующим образом:

$$\frac{\partial \rho_\beta}{\partial t} + \sum_{i=1}^2 \frac{\partial \rho_\beta v_{\beta,i}}{\partial x_i} = 0; \quad (1)$$

$$\frac{\partial \rho_\beta v_{\beta,i}}{\partial t} + \sum_{j=1}^2 \frac{\partial}{\partial x_j} (\rho_\beta v_{\beta,i} v_{\beta,j} - \sigma_{\beta,ij}) = 0; \quad (2)$$

$$\frac{\partial}{\partial t} \rho_\beta \left(e_\beta + \frac{v_\beta^2}{2} \right) + \sum_{i=1}^2 \frac{\partial}{\partial x_i} \left(\rho_\beta \left(e_\beta + \frac{v_\beta^2}{2} \right) v_{\beta,i} - \sigma_{\beta,ij} v_j \right) = 0; \quad \beta = s, g; \quad i = 1, 2. \quad (3)$$

Здесь ρ_β — плотность; $v_{\beta,i}$ — компоненты скорости; $\sigma_{\beta,ij}$ — компоненты тензора напряжений; e_β — внутренняя энергия фазы (все эти величины являются истинными, а не осредненными характеристиками фаз); $v_\beta^2 = \sum_{i=1}^2 (v_{\beta,i})^2$; индекс s соответствует твердой фазе, g — газовой.

1.2. Определяющие соотношения. Газовая фаза полагалась линейно-вязкой:

$$\sigma_{g,ij} = -p\delta_{ij} + \tau_{ij}, \quad (4)$$

$$p = \rho_g R \theta_g (1 + a \rho_g + b \rho_g^2), \quad (5)$$

$$\tau_{ij} = \lambda_g \frac{\partial v_{g,k}}{\partial x_k} \delta_{ij} + 2\mu_g \frac{\partial v_{g,i}}{\partial x_j}, \quad (6)$$

$$e_g = c_g \theta_g. \quad (7)$$

Здесь p — давление; τ_{ij} — тензор вязких напряжений в газовой фазе; λ_g и μ_g — коэффициенты вязкости; a, b — экспериментальные константы газа; R — газовая постоянная; θ_g — температура газа; c_g — теплоемкость газа при постоянном объеме; δ_{ij} — тензор Кронекера.

Определяющие соотношения для твердой фазы выберем в виде связи яуманновской производной тензора напряжений $\sigma_{s,ij}^J$ с тензором скорости деформаций $\partial v_{s,i} / \partial x_j$:

$$\sigma_{s,ij}^J = \sum_{k,l=1}^2 A_{ijkl} \frac{\partial v_{s,k}}{\partial x_l}, \quad (8)$$

$$A_{ijkl} = \frac{E}{1+\nu} \left(\frac{1}{2} (\delta_{ik}\delta_{jl} + \delta_{il}\delta_{jk}) + \frac{\nu}{1-2\nu} \delta_{ij}\delta_{kl} - \frac{\alpha}{\rho_s c_s} \delta_{ij}\sigma_{s,kl} \right), \quad (9)$$

где A_{ijkl} — тензор упругости, отличающийся от общеизвестного тензора модулей упругости наличием последнего слагаемого, учитывающего тепловое расширение твердой фазы для быстропротекающих процессов; E, ν — модуль Юнга и коэффициент Пуассона твердой фазы. Яуманновская производная $\sigma_{s,ij}^J$ от тензора напряжений твердой фазы вычисляется следующим образом:

$$\sigma_{s,ij}^J = \frac{\partial \sigma_{s,ij}}{\partial t} + \sum_{k=1}^2 \left(v_{s,k} \frac{\partial \sigma_{s,ij}}{\partial x_k} + \frac{1}{2} \sigma_{ik} \left(\frac{\partial v_{s,i}}{\partial x_k} - \frac{\partial v_{s,k}}{\partial x_i} \right) - \frac{1}{2} \sigma_{kj} \left(\frac{\partial v_{s,k}}{\partial x_i} - \frac{\partial v_{s,i}}{\partial x_k} \right) \right), \quad (10)$$

здесь α и c_s — коэффициент теплового расширения и теплоемкость твердой фазы соответственно.

1.3. Условия на поверхности раздела фаз. Уравнение поверхности раздела фаз в плоской постановке описывается формулой $x_2 = h_1(x_1, t)$. Изменение положения поверхности раздела фаз в трещине происходит вследствие двух причин: газификации твердой фазы и ее конечных деформаций.

Уравнение для функции h_1 имеет вид [12]

$$\frac{\partial h_1}{\partial t} + v_{s,1} \frac{\partial h_1}{\partial x_1} = v_{s,2} + \bar{u}_f, \quad (11)$$

где u_f — скорость горения твердой фазы, h_1 — величина зазора трещины по оси Ox_2 .

На поверхности раздела фаз $x_2 = h_1$ имеем следующие граничные условия:

$$\rho_g \left(u_f + \sum_{i=1}^2 (v_{s,i} - v_{g,i}) n_i \right) = \rho_s u_f, \quad (12)$$

$$\rho_s u_f (v_{g,i} - v_{s,i}) + (\sigma_{g,ij} - \sigma_{s,ij}) n_j = 0, \quad (13)$$

$$\rho_s \left(e_g - e_s + \frac{v_g^2}{2} - \frac{v_s^2}{2} \right) + \sum_{i,j=1}^2 (\sigma_{g,ij} v_{g,i} - \sigma_{s,ij} v_{s,i}) n_j - q_{g,n} + q_{s,n} = 0, \quad (14)$$

$$(v_{g,i} - v_{s,i}) b_i = 0. \quad (15)$$

Уравнение (15) является условием отсутствия проскальзывания твердой и газовой фаз. Здесь n_i — компоненты вектора нормали к поверхности раздела фаз; u_f — скорость горения; $q_{g,n}$, $q_{s,n}$ — тепловые потоки к газовой и твердой фазам соответственно; b_i — компоненты вектора в касательной плоскости к поверхности раздела фаз;

$$\begin{aligned} n_1 &= \left(1 + \left(\frac{\partial h_1}{\partial x_1} \right)^2 \right)^{-1/2}, \\ n_2 &= \frac{\partial h_1}{\partial x_1} \left(1 + \left(\frac{\partial h_1}{\partial x_1} \right)^2 \right)^{-1/2}, \\ b_1 &= (1 - n_1^2)^{1/2}, \quad b_2 = -n_1. \end{aligned} \quad (16)$$

В условиях баланса энергии (14) на поверхности раздела фаз учитываются тепловые потоки $q_{g,n} = \alpha^T (\theta_g - \theta_w)$, $q_{s,n} = \alpha^T (\theta_w - \theta_s)$, (17) где α^T — коэффициент теплопередачи, θ_w — температура поверхности горения.

На внешней поверхности $x_1 = 0$ в соответствии с описанной выше моделью зажигания граничные условия имеют вид

$$\sigma_{s,11} = -p_e(t), \quad \sigma_{s,12} = 0, \quad \theta_s = \theta_e(t). \quad (18)$$

При дозвуковом режиме затекания газа в трещину следует задать две функции газовой фазы у входа трещины ($x_1 = 0$), например p_e и θ_e . В случае дозвукового истечения газа из трещины достаточно задать только одно граничное условие (например, p_e) при $x_1 = 0$; значения остальных необходимых параметров на границе могут быть определены из условий на характеристических линиях, приходящих на границу $x_1 = 0$. Для сверхзвукового газового потока из трещины нет необходимости ставить какие-либо граничные условия для газовой фазы при $x_1 = 0$, так как все характеристические линии приходят на границу $x_1 = 0$ из области $x_1 > 0$, где параметры потока известны (из численного решения задачи на предыдущем временном шаге).

Трещину будем считать нераспространяющейся и граничные условия в вершине трещины при $x_1 = L$ полагаем совпадающими с условиями на абсолютно жесткой стенке:

$$v_{s,1} = v_{s,2} = v_{g,1} = v_{g,2} = 0, \quad (19)$$

где L — длина трещины.

Кроме того, из условий симметрии задачи можно искать решение только для одной трещины. Тогда для твердой фазы необходимо записать условие периодичности трещин:

$$x_2 = H: \quad \sigma_{s,12} = 0, \quad v_{s,2} = 0. \quad (20)$$

Поскольку начало координат находится в центре трещины, необходимо также задать условие симметрии:

$$x_2 = 0: \quad v_{g,1} = 0, \quad \sigma_{g,12} = 0. \quad (21)$$

1.4. Начальные условия и общая постановка задачи. Начальные условия к системе уравнений (1)–(3), (8), (11) имеют вид:

$$\begin{aligned} t = 0: \quad h_1 &= h_{1,0}, \quad \rho_s = \rho_{s,0}, \quad \rho_g = \rho_{g,0}, \\ v_{s,i} &= v_{g,i} = 0, \quad \theta_s = \theta_g = \theta_0, \end{aligned} \quad (22)$$

где $h_{1,0}$, $\rho_{s,0}$ и θ_0 — начальные значения соответствующих функций.

Общая постановка задачи заключается в решении двенадцати уравнений (1)–(3), (8), (11) с условиями (12)–(15), (18)–(22), в которые подставлены соотношения (4)–(7), (10) относительно двенадцати функций:

$$\rho_\beta, v_{\beta,i}, e_\beta, \sigma_{s,ij}, h_1 \quad (i, j = 1, 2; \beta = s, g), \quad (23)$$

эти функции зависят от координат x_1, x_2 и времени t , изменяющихся в пределах

$$\begin{aligned} 0 < x_1 < L, \quad 0 < x_2 < h_1(t) \quad \text{для } g\text{-фазы;} \\ h_1(t) < x_2 < H \quad \text{для } s\text{-фазы;} \quad t > 0. \end{aligned} \quad (24)$$

2. ЧИСЛЕННО-АНАЛИТИЧЕСКИЙ МЕТОД РЕШЕНИЯ ЗАДАЧИ

2.1. Основные допущения. Для решения сформулированной выше двумерной задачи применим предложенный в [12] численно-аналитический метод, сущность которого заключается в следующем. Ввиду того, что один геометрический параметр задачи значительно меньше другого: $H \ll L$, зависимость всех неизвестных функций задачи от поперечной координаты x_2 задается в параметрическом виде:

$$\begin{aligned} v_{g,1} &= \begin{cases} v_{g,1}^0(x_1, t), & 0 \leq x_2 < h_1, \\ v_{g,1,w}(x_1, t), & x_2 = h_1; \end{cases} \\ v_{g,2} &= \begin{cases} v_{g,2}^0(x_1, t) \frac{2x_2}{h_1}, & 0 \leq x_2 < h_1, \\ v_{g,2,w}(x_1, t), & x_2 = h_1; \end{cases} \\ v_{s,1} &= v_{s,1}^0(x_1, t), \quad h_1 \leq x_2 \leq H; \end{aligned}$$

$$\begin{aligned}
v_{s,2} &= v_{s,2}^0(x_1, t) \frac{2(H-x_2)}{H-h_1}, \quad h_1 \leq x_2 \leq H; \\
\tau_{12} &= \tau_{12,w}(x_1, t) \frac{2x_2}{h_1}, \quad 0 \leq x_2 \leq h_1; \quad (25) \\
\sigma_{s,12} &= \sigma_{s,12}^0(x_1, t) \frac{2(H-x_2)}{H-h_1}, \quad h_1 \leq x_2 \leq H; \\
\sigma_{s,22} &= (2\sigma_{s,22}^0(x_1, t) - \sigma_{s,22,w}(x_1, t)) \frac{x_2 - h_1}{H - h_1} + \\
&+ \sigma_{s,22,w}(x_1, t) \frac{H - x_2}{H - h_1}, \quad h_1 \leq x_2 \leq H; \\
\sigma_{s,11} &= \sigma_{s,11}^0(x_1, t), \quad h_1 \leq x_2 \leq H; \\
\rho_g &= \rho_g^0(x_1, t), \quad 0 \leq x_2 \leq h_1; \\
\rho_s &= \rho_s^0(x_1, t), \quad h_1 \leq x_2 \leq H; \\
\theta_g &= \begin{cases} \theta_g^0(x_1, t), & 0 \leq x_2 < h_1, \\ \theta_w(x_1, t), & x_2 = h_1; \end{cases} \\
\theta_s &= \theta_s^0(x_1, t), \quad h_1 \leq x_2 \leq H,
\end{aligned}$$

индекс w соответствует параметрам на межфазной поверхности. Функции $v_{\beta,i}^0$, ρ_{β}^0 , $\sigma_{s,i}^0$, θ_{β}^0 , представляющие собой средние значения по фазам от соответствующих функций, а также $v_{g,i,w}$, $\tau_{12,w}$ и θ_w зависят только от одной координаты x_1 и времени t . Распределения (25) удовлетворяют всем граничным условиям (20), (21). На границе газовой и твердой фаз появляются дополнительные четыре функции $v_{g,i,w}$ ($i = 1, 2$), $\tau_{12,w}$ и θ_w , отличающиеся от значений $v_{g,i}^0$, θ_g^0 в газовой фазе.

Примем следующие допущения:

- вязкие напряжения газовой фазы малы по сравнению с давлением в газе; кроме того, полагаем

$$\sigma_{g,ii} = \sigma_{g,ii}^0 \approx -p^0, \quad \sigma_{g,12} = \tau_{12}, \quad i = 1, 2, \quad (26)$$

где $p^0 = \rho_g^0 \theta_g^0$;

- вязкие напряжения газовой фазы на фазовой поверхности горения $\tau_{12,w}$ вычисляются на основании соотношений для турбулентного течения газа в каналах:

$$\tau_{12,w} = 0,029 \rho_g^0 v_{g,1}^0 \text{Re}^{-0,2}, \quad \text{Re} = \rho_g^0 v_{g,1}^0 \frac{L}{\mu_g}, \quad (27)$$

которые могут рассматриваться как приближенное решение уравнений (13) для $i = 2$ на поверхности горения;

- поверхность горения $h_1(x_1, t)$ в трещине меняется достаточно плавно, так что

$$\frac{\partial h_1}{\partial x_1} \ll 1. \quad (28)$$

Первые два допущения достаточно известны и не требуют дополнительных обоснований, последнее допущение будет подтверждено ниже прямыми вычислениями.

Для коэффициента теплообмена α^T газовой и твердой фаз будем использовать выражение, полученное на основе аналогии Рейнольдса:

$$\alpha^T = 0,038 c_g \rho_g^0 v_{g,1}^0 \text{Re}^{-0,2}, \quad (29)$$

а для скорости горения — выражение [3]

$$u_f = u_f^0 \left(\frac{p}{p_0} \right)^n, \quad (30)$$

где u_f^0 и n — константы горения.

2.2. Осредненная постановка задачи. Предположения (25) о характере зависимости неизвестных функций от поперечной координаты x_2 позволяют свести исходную двумерную задачу о горении твердого тела с трещинами в подвижной области в постановке (1)–(3), (8), (11) к одномерной системе динамических уравнений в неподвижной области $0 < x_1 < L$. Для этого распределения (25) подставим в уравнения (1)–(3), (8), (11), а затем осредним по отдельности уравнения для газовой и твердой фаз по координате x_2 : от 0 до h_1 и от h_1 до H соответственно:

$$\langle \psi_1 \rangle_1 = \frac{1}{h_1} \int_0^{h_1(x_1, t)} \psi(x_1, x_2, t) dx_2,$$

$$\langle \psi_2 \rangle_2 = \frac{1}{h_2} \int_{h_1(x_1, t)}^H \psi(x_1, x_2, t) dx_2.$$

Получаем следующую систему уравнений:

$$\begin{aligned}
\frac{\partial}{\partial t} h_{\beta} \rho_{\beta}^0 + \frac{\partial h_{\beta} \rho_{\beta}^0 v_{\beta,1}^0}{\partial x_1} &= J_{\beta}, \\
\frac{\partial h_{\beta} \rho_{\beta}^0 v_{\beta,i}^0}{\partial t} + \frac{\partial}{\partial x_1} h_{\beta} (\rho_{\beta}^0 (v_{\beta,i}^0)^2 - \sigma_{\beta,1i}^0) &= \\
&= J_{\beta} v_{\beta,i,w} + P_{\beta,i} + F_{\beta,i}, \quad (31)
\end{aligned}$$

$$\begin{aligned}
\frac{\partial}{\partial t} h_{\beta} \rho_{\beta}^0 \left(e_{\beta}^0 + \frac{v_{\beta}^0{}^2}{2} \right) + \\
+ \frac{\partial}{\partial x_1} h_{\beta} \left(\sum_{i=1}^2 \left(\rho_{\beta}^0 \left(e_{\beta} + \frac{v_{\beta}^0{}^2}{2} \right) - \sigma_{\beta,1i}^0 \right) v_{\beta,i}^0 - E_{\beta} \right) = \\
= J_{\beta} E_{\beta,w} + \sum_{i=1}^2 (P_{\beta,i} + F_{\beta,i}) v_{g,i,w},
\end{aligned}$$

$$i = 1, 2, \quad \beta = s, g,$$

а также осредненные определяющие соотношения, имеющие вид дифференциальных уравнений первого порядка:

$$(\sigma_{s,ij}^J)^0 = \sum_{k,l=1}^2 A_{ijkl}^0 v_{kl}, \quad i, j = 1, 2, \quad (32)$$

где

$$v_{11} = \frac{\partial v_{s,1}^0}{\partial x_1}, \quad v_{22} = -2 \frac{2v_{s,2}^0}{h_2}, \quad v_{12} = \frac{\partial v_2^0}{\partial x_1} \quad (33)$$

— компоненты осредненного тензора скоростей деформаций,

$$A_{ijkl}^0 = \frac{F h_2}{1+\nu} \left(\frac{1}{2} (\delta_{ik} \delta_{jl} + \delta_{il} \delta_{jk}) + \frac{\nu}{1-2\nu} \delta_{ij} \delta_{kl} - \frac{\alpha}{\rho_s^0 c_s} \delta_{ij} \sigma_{s,kl}^0 \right), \quad i, j, k, l = 1, 2, \quad (34)$$

A_{ijkl}^0 — компоненты осредненного тензора упругости,

$$\begin{aligned} (\sigma_{s,ij}^J)^0 &= \frac{\partial}{\partial t} h_2 \sigma_{s,ij}^0 + v_{s,1}^0 \frac{\partial}{\partial x_1} h_2 \sigma_{s,ij}^0 - \sigma_{s,ij}^0 \frac{J_s}{\rho_s^0} - \\ &- \frac{2}{3} (\delta_{i1} \delta_{j1} - \delta_{i2} \delta_{j2}) \sigma_{s,12}^0 h_2 \frac{\partial v_{s,2}^0}{\partial x_1} - (\delta_{i1} \delta_{j2} - \delta_{i2} \delta_{j1}) \times \\ &\times \left(\sigma_{s,11}^0 - \frac{2\sigma_{s,22}^0 + \sigma_{s,22,w}}{3} \right) h_2 \frac{\partial v_{s,2}^0}{\partial x_1} \quad (35) \end{aligned}$$

— осредненная по твердой фазе производная по Яуманну. Функция J_β представляет собой интенсивность (или объемную скорость) межфазного обмена, $P_{\beta,i}$ — удельный импульс межфазного обмена, $F_{\beta,i}$ — удельная сила межфазного трения, а E_β — межфазный обмен энергией.

В уравнениях (31) использованы следующие параметры межфазного обмена:

$$\begin{aligned} J_g &= \rho_s^0 u_f, \quad P_{g,i} = \sigma_{g,1i}^0 \frac{\partial h_i}{\partial x_1}, \quad F_{g,1} = 2\tau_{12,w}, \\ F_{g,2} &= 0, \quad E_g = \frac{h_1}{3} v_{g,2}^0 \tau_{12,w}; \\ J_s &= -J_g, \quad P_{s,i} = -P_{g,i}, \quad F_{s,i} = -F_{g,i}, \\ E_s &= \frac{h_2}{3} v_{s,2}^0 \sigma_{s,12}^0, \quad i = 1, 2. \end{aligned} \quad (36)$$

Кроме того, в (31) приняты следующие обозначения энергий фаз на границе раздела $E_{\beta,w}$ и e_β^0 — средние значения внутренних энергий фаз:

$$E_{g,w} = e_{g,w}^0 + \frac{1}{2} (v_{g,1,w}^2 + v_{g,2,w}^2),$$

$$E_{s,w} = e_{s,w}^0 + \frac{1}{2} (v_{s,1}^0 + 4v_{s,2}^0), \quad e_g^0 = c_g \theta_g^0, \quad (37)$$

$$\begin{aligned} e_{s,w}^0 &= Q + c_s \theta_s^0 + \frac{1+\nu}{2E\rho_s^0} ((\sigma_{s,11}^0)^2 + 8(\sigma_{s,12}^0)^2 + \\ &+ \sigma_{s,22,w}^2) - \frac{\nu(1+\nu)}{2E\rho_s^0} ((\sigma_{s,11}^0)^2 + \sigma_{s,22,w}^2), \\ e_{g,w} &= c_g \theta_w; \quad v_\beta^2 = (v_{\beta,1}^0)^2 + (v_{\beta,2}^0)^2. \end{aligned}$$

Подставляя распределения (25) в граничные условия на межфазной поверхности (12), (13), (15), получаем соотношение между значениями функций на границе $v_{g,1,w}$, $v_{g,2,w}$, $\sigma_{s,22,w}$ и средними значениями функций $v_{s,1}$, $v_{s,2}$, $\sigma_{g,22}^0$:

$$\begin{aligned} v_{g,1,w} &= v_{s,1}^0 + \left(\frac{\rho_s^0}{\rho_g^0} - 1 \right) u_f \frac{\partial h_1}{\partial x_1}, \\ v_{g,2,w} &= v_{s,2}^0 - \left(\frac{\rho_s^0}{\rho_g^0} - 1 \right) u_f, \\ \sigma_{s,22,w} &= \sigma_{g,22}^0 + \rho_g u_f^2 \left(\frac{\rho_s^0}{\rho_g^0} - 1 \right). \end{aligned} \quad (38)$$

Температуру поверхности горения θ_w между фазами определим, подставив распределения (25) в условие для скачка энергии фаз (14).

Уравнение (11) после введения распределений (25) записывается следующим образом:

$$\frac{\partial h_1}{\partial t} + v_{s,1}^0 \frac{\partial h_1}{\partial x_1} = 2v_{s,2}^0 + u_f. \quad (39)$$

В результате проведенных преобразований исходная двумерная постановка задачи (1)–(3), (8), (11) о горении двухфазной деформируемой среды сведена к решению одномерной модифицированной системы двенадцати уравнений (31), (32), (39) относительно двенадцати функций ρ_β^0 , $v_{\beta,i}^0$, $\sigma_{s,ij}^0$, θ_β^0 , h_1 ($\beta = s, g$; $i, j = 1, 2$), зависящих только от x_1 и t . После вычисления этих функций значения параметров на границе определяются по формулам (38), и искомые двумерные распределения функций ρ_β , $v_{\beta,i}$, $\sigma_{s,ij}$, θ_β , зависящие от x_1 , x_2 и t , восстанавливаются по формулам (25).

Начальные и граничные условия для осредненной задачи (31), (32), (39) имеют вид:

$$\begin{aligned} t = 0: \quad h_1 &= h_1^0, \quad \rho_s^0 = \rho_{s,0}, \\ \rho_g &= \rho_{g,0}, \quad v_{s,i}^0 = v_{g,i}^0 = 0, \\ \theta_s^0 &= \theta_g^0 = \theta_0, \quad \sigma_{s,ij}^0 = 0; \\ x_1 = 0: \quad \sigma_{s,11}^0 &= -p_e(t), \quad \sigma_{s,12}^0 = 0, \quad \theta_s^0 = \theta_e(t); \\ x_1 = L: \quad v_{s,i}^0 &= v_{g,i}^0 = 0. \end{aligned} \quad (40)$$

Плотность твердой фазы ρ_s^0 , кг/м ³	1700
Теплоемкость твердой фазы c_s , кДж/(кг · К)	1,04
Теплоемкость газовой фазы c_g , кДж/(кг · К)	1,00
Коэффициент Пуассона твердой фазы ν	0,4
Модуль упругости E , ГПа	0,023 ÷ 2,3
Скорость горения при нормальном давлении u_f^0 , м/с	$2,5 \cdot 10^{-3}$
Показатель степени в законе горения n	0,6
Теплота горения Q , МДж/кг	3,58
Длина трещины L , м	0,1
Половина общего поперечного размера трещины $H = h_1 + h_2$, м	$2,5 \cdot 10^{-3}$
Начальное давление p_0 , МПа	0,1
Начальная температура θ_0 , К	295

2.3. Численный метод. Система уравнений (31), (32), (39) существенно проще, чем исходная система (1)–(3), (8), (11), так как, во-первых, является одномерной и содержит такое же количество неизвестных функций, а во-вторых, определена в неподвижной области $[0, L] \times [0, t_{\max})$, в то время как исходная система содержит переменную границу раздела фаз $h_1(x_1, t)$, меняющуюся вследствие выгорания и конечных деформаций твердой фазы.

Для численного решения задачи (31), (32), (39), (40) был использован двухшаговый метод Лакса — Вендроффа в модифицированном виде [14]. Система уравнений (31), (32), (39) была представлена в векторном виде:

$$\frac{\partial \mathbf{y}}{\partial t} + \frac{\partial \mathbf{z}(\mathbf{y})}{\partial x_1} + \mathbf{Z}_1(\mathbf{y}) \frac{\partial \mathbf{z}_2(\mathbf{y})}{\partial x_1} + \mathbf{Z}_3(\mathbf{y}) \frac{\partial \mathbf{z}_4(\mathbf{y})}{\partial x_1} = \mathbf{b}, \quad (41)$$

где \mathbf{y} — обобщенный вектор неизвестных функций размерностью (1×12) ; $\mathbf{Z}_1(\mathbf{y})$ и $\mathbf{Z}_3(\mathbf{y})$ — обобщенные диагональные матрицы с размерностью (12×12) , компоненты которых зависят от \mathbf{y} ; $\mathbf{z}(\mathbf{y})$, $\mathbf{z}_2(\mathbf{y})$ и $\mathbf{z}_4(\mathbf{y})$ — обобщенные векторы (1×12) , компоненты которых зависят от неизвестных функций \mathbf{y} , а \mathbf{b} — обобщенный вектор правой части размером (1×12) . Вычисление функций \mathbf{y} по схеме (41) на первом и втором шагах метода Лакса — Вендроффа показано в [12, 13].

Система (31), (32), (39) описывает динамические процессы в двухфазной (т. е. двухскоростной) среде, где волны распространяются как в газовой, так и в твердой фазе, следовательно, условие устойчивости Куранта для принятой расчетной схемы записывается в виде

$$\Delta t \leq \min\{\Delta t_g^*, \Delta t_s^*\}, \quad (42)$$

$$\Delta t_\beta^* = \frac{\Delta x}{\max(|v_{\beta,1}^0| + a_\beta)}, \quad \beta = s, g,$$

где a_s и a_g — местные скорости звука в твердой и газовой фазах соответственно.

Значения констант пористой среды, для которых проводили вычисления, приведены в таблице.

Для анализа эффектов, вызванных конечными деформациями твердой фазы, проведены расчеты с разными значениями модуля упругости E из диапазона $0,023 \div 2,3$ ГПа. При этом все остальные характеристики пористого материала, включая коэффициент Пуассона, не изменялись. Значение $E = 0,023$ ГПа характерно для твердых топлив на основе полибутадиена. Материалы этого класса имеют предельные деформации $\approx 50 \div 60\%$ и даже выше. Значение $E = 0,23$ ГПа типично для полиуретановых твердых топлив, а также высоконаполненных (до $40 \div 50\%$ наполнителя) полибутадиеновых топлив. Предельные деформации таких топлив тоже весьма значительны и обычно составляют $20 \div 30\%$. Значение $E = 2,3$ ГПа, по-видимому, близко к максимальным значениям упругих характеристик современных твердых топлив. Деформации таких топлив являются малыми ($\leq 1 \div 3\%$).

В качестве характерных значений времени t_0 , скорости V_0 и давления p_0 принимались следующие:

$$t_0 = H/u_f^0; \quad V_0 = \sqrt{R\theta_0}; \quad p_0 = \rho_{g,0}R\theta_0.$$

3. РЕЗУЛЬТАТЫ РАСЧЕТОВ

На рис. 2–5 представлены результаты расчетов механических и газодинамических параметров при горении твердого топлива с про-

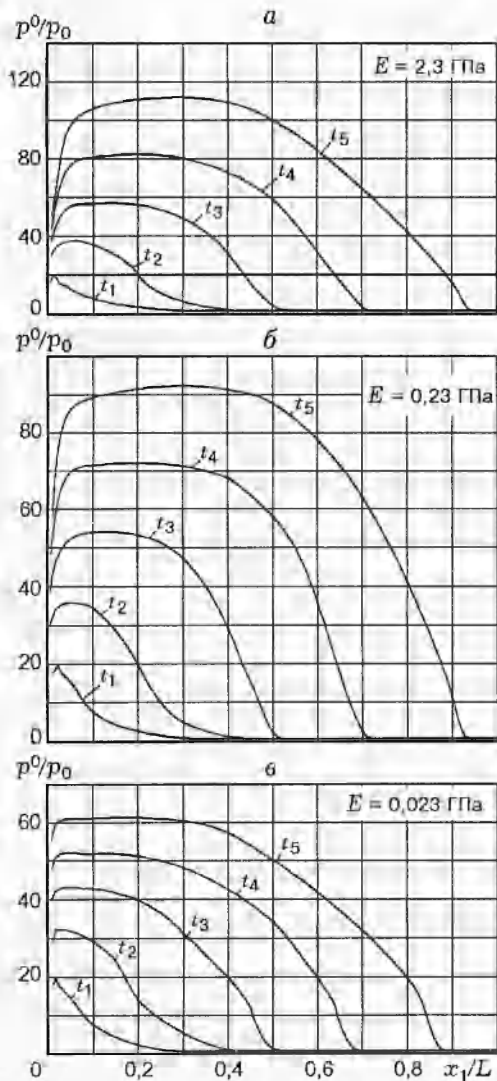


Рис. 2. Распределение давления газа p^0 по длине канала для различных моментов времени и различных значений модуля упругости E

дольными трещинами для различных моментов времени: $t_1 = 0,067$, $t_2 = 0,116$, $t_3 = 0,152$, $t_4 = 0,183$, $t_5 = 0,212$ мс.

Граничное условие задавалось в виде скорости роста давления на входе трещины $2,5 \cdot 10^4$ МПа/с. Поверхность пороха воспламенялась, когда температура поверхности твердого топлива достигала некоторого критического значения $\theta_w^* = 3,2 \theta_0$. Общая картина распространения горения в трещине деформируемого твердого топлива была следующей.

Образующиеся при горении твердой фазы газы формируют волну сжатия в газовой фазе,

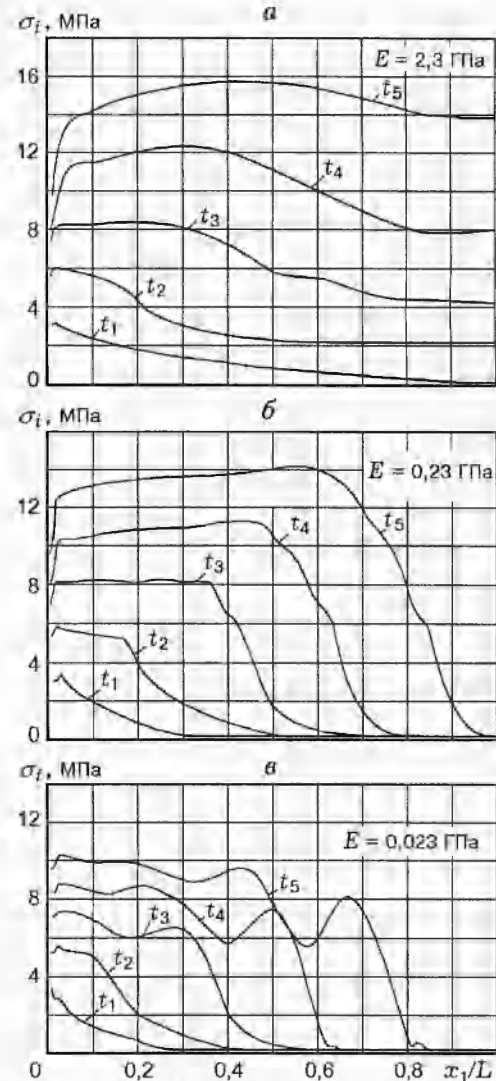


Рис. 3. Распределение интенсивности напряжений σ_t по длине канала для различных моментов времени и различных значений модуля упругости E

которая движется вглубь трещины. При этом движущиеся горячие газы поджигают новые участки твердой фазы, тем самым начинают продвигаться и сама зона горения; таким образом, реализуется механизм конвективного горения. Образование большого количества газов в трещине в процессе горения приводит к возникновению значительного уровня давления в газе вблизи зоны горения (см. рис. 2). Это давление воздействует на твердую фазу, в результате в ней возникает волна сжатия, распространяющаяся вглубь твердой фазы. Отличными от нуля оказываются все напряжения $\sigma_{s,11}$, $\sigma_{s,12}$

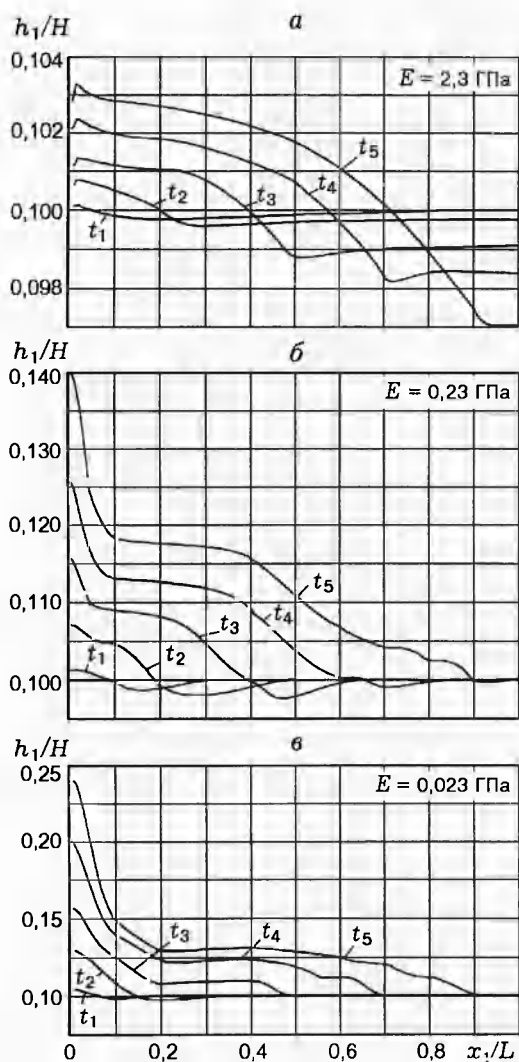


Рис. 4. Зависимость ширины зазора канала h_1 от его длины для различных моментов времени и различных значений модуля упругости E

и $\sigma_{s,22}$ в твердой фазе. На рис. 3 показаны распределения суммарной волны механических напряжений, выраженной интенсивностью σ_i напряжений:

$$\sigma_i = (\sigma_{s,11}^2 + \sigma_{s,22}^2 + \sigma_{s,11}\sigma_{s,22} + 3\sigma_{s,12}^2)^{1/2}.$$

Таким образом, при конвективном горении пористого топлива образуются два типа волн сжатия: в газовой и твердой фазах. Кроме того, в твердой фазе движутся поперечные волны растяжения/сжатия. Скорости их распространения различны и зависят от свойств газовой и твердой фаз. Скорость распространения волн в твердой фазе определяется, главным образом, модулем E . Картина распространения

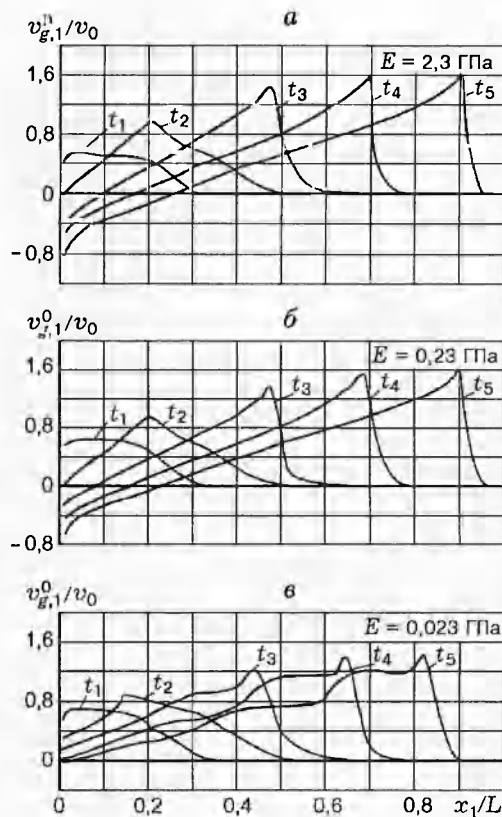


Рис. 5. Распределение скорости газа $v_{g,1}^0$ по длине канала для различных моментов времени и различных значений модуля упругости E

волн при различных значениях E оказывается различной.

Для больших значений модуля $E \approx 2,3$ ГПа скорость распространения поперечных волн существенно больше скорости волны сжатия в газе. Поэтому поперечная волна в твердой фазе опережает волну сжатия в газе. Вследствие этого непосредственно перед фронтом горения в трещине происходит расширение твердой фазы (увеличение значения h_2) и сужение зазора трещины h_1 (см. рис. 4,а). Волна расширения твердой фазы в процессе горения перемещается вглубь трещины практически со скоростью поперечных волн (см. рис. 4,а). Однако, поскольку максимальные упругие деформации твердой фазы для случая $E = 2,3$ ГПа невелики, абсолютные значения сужения зазора трещины также малы: $\Delta h_1 \approx (h_0 - h_1)/h_0 \approx 3\%$.

Иная ситуация наблюдается для случая $E \leq 2,3$ ГПа, когда деформации твердой фазы достаточно большие. Твердая фаза при таких значениях E дает более высокие значения су-

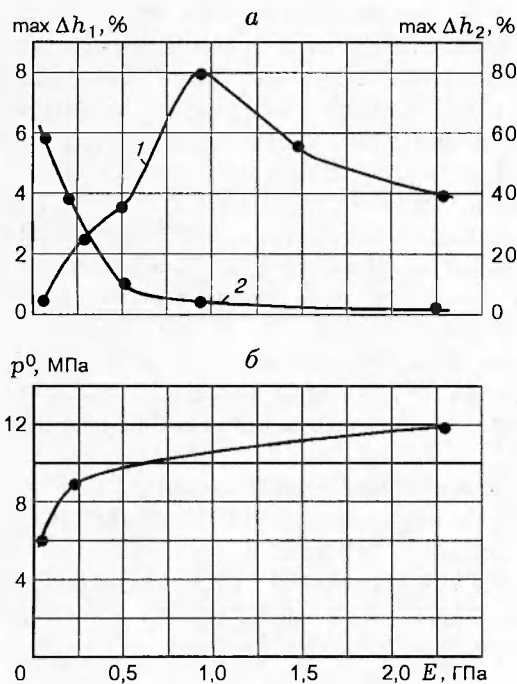


Рис. 6. Зависимость максимального сужения зазора канала Δh_1 (кривая 1) и сжатия твердой фазы Δh_2 (кривая 2) (а) и максимального давления газа p^0 (б) от модуля упругости E

жения Δh_1 зазора (см. рис. 4,б). Максимальные значения сужения достигают $\approx 9\%$ для данных условий конвективного горения.

Однако дальнейшее уменьшение значений E приводит к одновременному увеличению сжимаемости твердой фазы и снижению скорости распространения поперечных волн большой амплитуды в твердой фазе. Вследствие этого по твердой фазе впереди фронта горения и волны сжатия в газе распространяется только волна малой интенсивности — звуковая. Волна с большой амплитудой деформаций с уменьшением значений E замедляется, и ее скорость приближается к скорости распространения волн в газе (см. рис. 4,в). Вследствие этого эффекта зависимость максимального сужения зазора трещины h_1 от механических характеристик твердой фазы (модуля E) имеет экстремум (рис. 6,а), который для данных условий горения достигает значения $\approx 9\%$ для $E = 0,9$ ГПа. При более низких значениях E величина Δh_1 уменьшается.

В зоне горения, где давление газа достигает максимальных значений, происходит сжатие твердой фазы (уменьшение значений h_2) и

расширение зазора трещины h_1 . Абсолютная величина сжатия твердой фазы $\Delta h_2 = (h_2^0 - h_2)/h_2^0$ зависит от модуля E (см. рис. 6,а): с уменьшением значений E значения Δh_2 возрастают. При $E = 2,3; 0,23; 0,023$ ГПа соответственно $\Delta h_2 = 3, 35, 70\%$.

Из данных, представленных на рис. 4, можно сделать оценку изменения функции $\partial h/\partial x_1$. Максимальные значения $|\partial h/\partial x_1|$ достигаются вблизи входа в канал $x_1 = 0$ для всех значений E . Наибольшее значение, достигаемое в рассматриваемой задаче, составляет $|\partial h/\partial x_1| \approx 0,05 \ll 1$. Таким образом, допущение (28) вполне оправдано.

Увеличение зазора трещины h_1 приводит к увеличению объема, занятого газовой фазой. Вследствие этого давление газа p^0 уменьшается (см. рис. 2). На рис. 6,б показаны зависимости максимального значения давления в газовой фазе p^0 при $t = 0,212$ мс от модуля E . С уменьшением значений модуля E , происходит падение давления газа p^0 . Если при $E = 2,3$ ГПа максимальное давление в трещине составляет 12 МПа, то для $E = 0,023$ ГПа $p^0 = 6$ МПа. Таким образом, увеличение сжимаемости твердой фазы, т. е. способности к большим деформациям, ведет к снижению давления в газовой фазе.

Влияние больших деформаций твердой фазы на продольную скорость газовой фазы $v_{g,1}$ показано на рис. 5. Общий характер распределения скорости $v_{g,1}^0$ для всех значений E таков. В начальный момент времени $t \leq 0,067$ мс при отсутствии горения профиль скорости $v_{g,1}^0$ в трещине имеет форму плато. С ростом давления газа p^0 скорость газовой фазы у открытого конца поры начинает падать, и при преобладающем росте давления в трещине газ начинает вытекать из нее. Увеличение давления в процессе горения приводит к возрастанию скорости $v_{g,1}^0$, образуется вторичная волна (см. пик скорости $v_{g,1}^0$ на рис. 5), которая догоняет фронт головной ударной волны. При этом формируется самораспространяющаяся волновая структура, содержащая головную ударную волну и примыкающую к ней зону горения.

Вместе с тем имеются отличия в волновом характере движения газа при разных значениях E . С уменьшением значения E уменьшается скорость, и значение времени начала истечения газа из канала t_{out} возрастает. Для $E = 2,3; 0,23; 0,023$ ГПа соответственно $t_{out} = 0,1; 0,12; 0,183$ мс. С уменьшением E уменьшаются также абсолютные значения скорости $v_{g,1}^0$ (см.

рис. 5) и скорость распространения возмущений в газовой фазе.

Влияние конечных деформаций на напряженно-деформированное состояние твердой фазы показано на рис. 3. Из этого рисунка видно, что с уменьшением значения E максимальное значение интенсивности механических напряжений σ_i падает: оно равно 16, 14 и 10 МПа для $E = 2, 3; 0,23$ и $0,023$ ГПа соответственно. Кроме того, меняется характер распределения параметра σ_i по длине канала. Если при малых деформациях твердой фазы (см. рис. 3,а) максимальное значение σ_i достигается на фронте головной волны горения (см. рис. 2,а и 3,а), то для конечных деформаций твердой фазы максимальные значения σ_i , так же как и значения p^0 в трещине, достигаются вблизи свободного конца поры при $x_1 = 0$ (см. рис. 2,в и 3,в).

Таким образом, несмотря на то, что с уменьшением модуля E сжимаемость твердой фазы растет, таких явлений, как закрытие трещины и прерывание процесса конвективного горения, не происходит (в рамках данной здесь постановки задачи), так как с уменьшением E скорость распространения волн в твердой фазе падает. В окрестности границы $x_1 = 0$ не происходит прерывания истечения газа при уменьшении E , так как рост сжимаемости твердой фазы приводит к росту объема трещины (как было указано ранее).

ЗАКЛЮЧЕНИЕ

1. В настоящей работе развита предложенная ранее в [12, 13] модель горения пористой деформируемой среды для случая конечных деформаций твердой фазы.

2. Предложен эффективный метод численно-аналитического решения задачи горения для случая деформируемой пористой среды с системой периодически расположенных трещин, перпендикулярных поверхности зажигания.

3. С помощью этого метода проведен численный анализ влияния модуля упругости твердой фазы на характеристики внутреннего тепло- и массопереноса.

4. Установлено, что чем больше деформации твердой фазы, тем меньше максимальные значения давления в газовой фазе при горении, а также меньше скорость истечения газообразных продуктов горения во внешнюю среду, скорость конвективного горения и скорость распространения возмущений в газовой фазе.

5. Установлено, что в пористой среде распространяется волна сужения зазора трещины, опережающая волну сжатия в газе. Абсолютное значение амплитуды волны сужения трещины достигает максимума при некотором конкретном значении модуля упругости E_* . При уменьшении модуля E по сравнению с E_* скорость распространения поперечной волны сжатия большой амплитуды в твердой фазе уменьшается, поэтому уменьшается и абсолютное значение амплитуды волны сужения зазора канала. При увеличении модуля E по сравнению с E_* деформации твердой фазы, а также амплитуда сужения зазора канала уменьшаются.

Эти явления имеют важное значение для задач проектирования процессов горения твердых топлив с дефектами.

Работа выполнена при поддержке Российского фонда фундаментальных исследований (код проекта 95-03-09519).

ЛИТЕРАТУРА

1. Krier H., Rajan S., Tassel W. Flame spreading and combustion in packed beds of propellant grains // AIAA Journal. 1976. V. 14, N 3. P. 301.
2. Kumar M., Kovacic S. M., Kuo K. K. Flame propagation and combustion processes in solid propellant cracks // AIAA Journal. 1981. V. 19, N 6. P. 610.
3. Kumar M., Kuo K. K. Effect of deformation on flame spreading and combustion in propellant cracks // AIAA Journal. 1981. V. 19, N 12. P. 1580.
4. Вилюнов В. Н., Кузьминых П. В., Шрагер Э. Р. О гидродинамике и закономерностях распространения пламени в плоской щели конденсированного вещества // Физика горения и взрыва. 1981. Т. 17, № 1. С. 17.
5. Дубовицкий В. Ф., Коростелев В. Г., Коротков А. И. и др. Горение пористых конденсированных систем и порохов // Физика горения и взрыва. 1974. Т. 10, № 6. С. 811.
6. Ермолаев Б. С., Хасанов Б. А., Борисов А. А. и др. Распространение конвективного горения в пористых порохах и ВВ // Физика горения и взрыва. 1975. Т. 11, № 5. С. 720.
7. Гостинцев Ю. А., Похил П. Ф. Полная система уравнений для нестационарных процессов при горении в полужамкнутом объеме // Докл. АН СССР. 1970. Т. 195, № 1. С. 137.
8. Ассовский И. Г., Закиров З. Г., Лейпунский О. И. О влиянии условий зажигания на

- горение топлива // Физика горения и взрыва. 1983. Т. 19, № 1. С. 41.
9. Липанов А. М., Алиев А. В. Распространение пламени в несимметричном глухом деформируемом канале // Физика горения и взрыва. 1993. Т. 29, № 1. С. 26.
10. Ермолаев Б. С., Новожилов Б. В., Посвянский В. С., Сулимов А. А. Результаты численного моделирования конвективного горения порошкообразных взрывчатых систем при возрастании давления // Физика горения и взрыва. 1985. Т. 21, № 5. С. 3.
11. Смирнов Н. Н., Димитриенко И. Д. Режим конвективного горения в деформируемом твердом топливе с продольными каналами // Физика горения и взрыва. 1986. Т. 22, № 3. С. 59.
12. Смирнов Н. Н., Димитриенко И. Д. Исследование конвективного горения в сжимаемом твердом топливе с продольными каналами // Физика горения и взрыва. 1990. Т. 26, № 4. С. 14.
13. Smirnov N. N., Dimitrienko I. D. Convective combustion of porous compressible propellants // Combust. Flame. 1992. V. 89. P. 260.
14. Dimitrienko I. D. Behavior of porous materials under impulse thermal effects // Proc. the Second Intern. Conf. on Composite Engineering. New Orleans, USA, 1995. P. S31-S32.
15. Smirnov N. N., Dimitrienko I. D., Rumyantseva S. I. Anomalous combustion regimes of solid propellants with defects // Proc. of 27th Intern. Conf. of ICT «Energetic Materials — Technology, Manufacturing and Processing». Karlsruhe, Germany, 1996. P. 146.1-146.11.
16. Smirnov N. N., Dimitrienko I. D. Emergency pressure rise in combustion of solid propellants with defects // Proc. of Intern. Symp. on Heat and Mass Transfer in Chemical Process Industry Accidents. Roma, Italy, 1994. P. 283-292.
17. Dimitrienko Y. I. Effect of finite deformations on internal heat-mass-transfer in elastomer ablative materials // Intern. J. of Heat Mass Transfer. 1997. V. 40, N 1. P. 699.

Поступила в редакцию 15/VII 1997 г.